

Задача:

Необходимо отрисовать для электрона локализованного в одномерной бесконечно глубокой яме 10 нм график пси функции от координаты (для основного состояния и 24-го возбужденного). Сравнить графики полученный на основе аналитического решения уравнения Шрёдингера с результатами работы встроенной MATLAB-функции eig.

Фото задания:

ЧИСЛЕННОЕ РЕШЕНИЕ УРАВНЕНИЯ ШРЕДИНГЕРА

1. $\Psi(\vec{r}, t) \rightarrow \{\psi(t)\};$
2. $\hat{H} \rightarrow [H];$
3. $i\hbar \frac{\partial \Psi(\vec{r}, t)}{\partial t} = \hat{H} \Psi(\vec{r}, t) \rightarrow i\hbar \frac{\partial \{\psi(t)\}}{\partial t} = [H]\{\psi(t)\}$

$$\frac{d^2 \psi_j}{dx^2} = \frac{\psi_{j-1} - 2\psi_j + \psi_{j+1}}{(\Delta x)^2};$$

$$\frac{d^2 \psi_j}{dx^2} = \frac{-\psi_{j-2} + 16\psi_{j-1} - 30\psi_j + 16\psi_{j+1} - \psi_{j+2}}{12(\Delta x)^2};$$

$$[H] = \begin{bmatrix} 2t_0 + U_1 & -t_0 & 0 & \dots \\ -t_0 & 2t_0 + U_2 & -t_0 & \dots \\ 0 & -t_0 & 2t_0 + U_3 & \dots \\ \dots & \dots & \dots & \dots \end{bmatrix};$$

$\{\psi(t)\} = ?$

$$[H]\{\psi_n\} = E_n\{\psi_n\};$$

$$\{\psi(t)\} = \sum_n C_n \{\psi_n\} \exp\left(-i \frac{E_n}{\hbar} t\right);$$

$$\frac{\partial U}{\partial t} = 0 \Rightarrow \hat{S} = e^{-\frac{i}{\hbar} [H] t} \Rightarrow |\psi(t)\rangle = \hat{S} |\psi(0)\rangle.$$

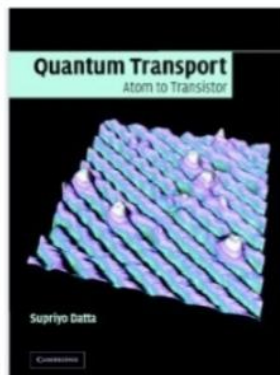
$\psi \sim \sin(k_n x):$

$$E_n = t_0 (k_n \Delta x)^2 \quad \text{и} \quad E_n = 2t_0 (1 - \cos(k_n \Delta x)).$$

$$\int_{-\infty}^{\infty} |\Psi_n(x)|^2 dx = 1 \quad \text{и} \quad \sum_{j=1}^{Np} |\psi_n(x_j)|^2 = 1.$$

Литература по теме

1. А.А.Амосов и др. **Вычислительные методы:** Учебное пособие. - СПб.: Лань, 2014. (Глава 15. Решение двухточечных краевых задач. стр. 555-578)
2. Спец. практикум: разностные схемы
3. Datta Supriyo. **Quantum Transport. Atom to Transistor.** Cambridge University press. 2005. (2.2 Method of finite differences. P.38-40)

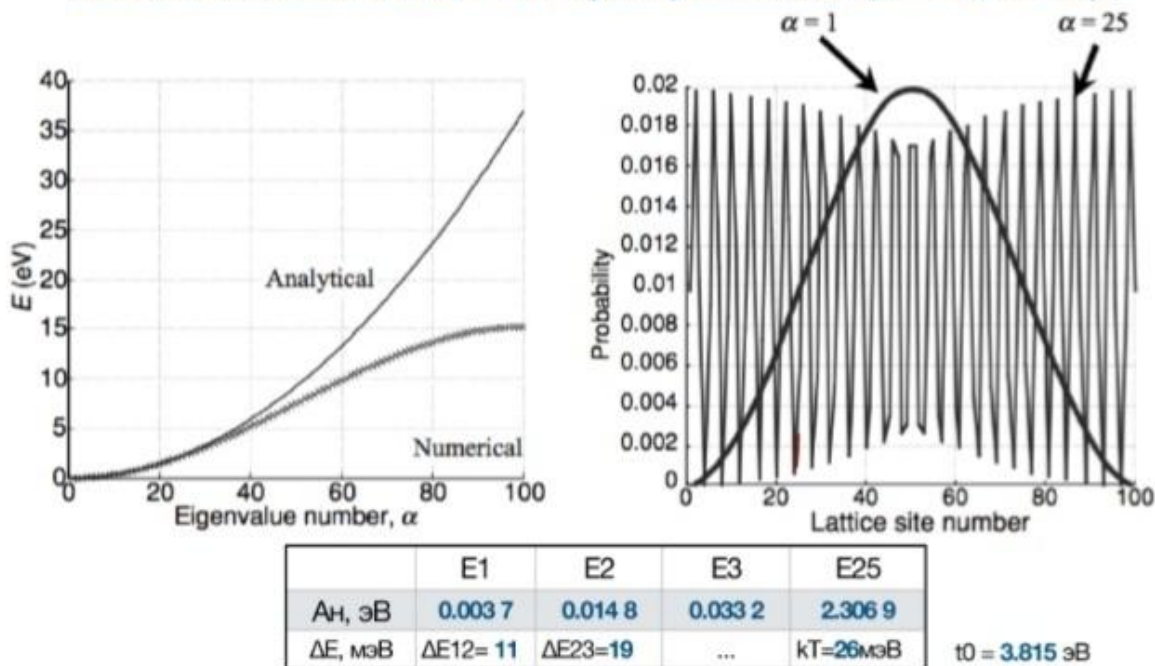


Справочно: $(\sin kx)' = k \cos kx$
 $\sin(\alpha \pm \beta) = \sin \alpha \cos \beta \pm \sin \beta \cos \alpha$

$$\cos x = 1 - \frac{x^2}{2!} + \frac{x^4}{4!} - \dots$$



Частица массы m_0 в ПЯ $L = 101 \text{ \AA}$ (дискретизация: $N_p = 100, \Delta x = 1 \text{ \AA}$).



Теория:

Квантовая яма с бесконечными стенками — область пространства размером порядка длины волны де Бройля рассматриваемой частицы (хотя бы в одном направлении), вне которой потенциальная энергия U бесконечна. Иногда данную область называют «ящиком»

Двухточечная краевая задача - это задача отыскания решения обыкновенного дифференциального уравнения или системы обыкновенных дифференциальных уравнений на отрезке $a \leq x \leq b$, в которой дополнительные условия на решение налагаются в двух точках a и b - "краях" отрезка (отсюда - и название задачи).

Решение:

Численное решение уравнения Шредингера(стационарного)

$$-\frac{\hbar}{2m} \Delta \psi(x) + U(x)\psi(x) = E\psi(x)$$

$$1. \Psi(r, t) \rightarrow \{\psi(t)\}$$

$$2. \hat{H} \rightarrow [H];$$

$$3. \quad i\hbar \frac{\partial}{\partial t} \Psi(r, t) = \hat{H} \Psi(r, t) \rightarrow i\hbar \frac{\partial}{\partial t} \{\psi(t)\} = [\hat{H}] \{\psi(t)\}$$

Из

$$\begin{cases} \psi_{i+1} = \psi_i + \Delta x \frac{d}{dx} \psi_i + \frac{\Delta x^2}{2!} \frac{d^2}{dx^2} \psi_i + \frac{\Delta x^3}{3!} \frac{d^3}{dx^3} \psi_i + \frac{\Delta x^4}{4!} \frac{d^4}{dx^4} \psi_i + \dots \\ \psi_{i-1} = \psi_i - \Delta x \frac{d}{dx} \psi_i + \frac{\Delta x^2}{2!} \frac{d^2}{dx^2} \psi_i - \frac{\Delta x^3}{3!} \frac{d^3}{dx^3} \psi_i + \frac{\Delta x^4}{4!} \frac{d^4}{dx^4} \psi_i + \dots \end{cases}$$

Получим:

$$\frac{\psi_{i+1} - 2\psi_i + \psi_{i-1}}{\Delta x^2} = \frac{d^2}{dx^2} \psi_i \Rightarrow \text{это трехточечная аппроксимация оператора 2-ой производной, где}$$

$$\Delta x = \frac{L}{N_p + 1}$$

Подставим его:

$$-\frac{\hbar^2}{2m} \left[\frac{\psi_{i+1} - 2\psi_i + \psi_{i-1}}{\Delta x^2} \right] + U_i \psi_i = E_i \psi_i$$

Матрицей этого уравнения будет

$$[H] = \begin{bmatrix} 2x_0 + U_1 & -x_0 & 0 & \dots \\ -x_0 & 2x_0 + U_2 & -x_0 & \dots \\ 0 & -x_0 & 2x_0 + U_3 & \dots \\ \dots & \dots & \dots & \dots \end{bmatrix}, \text{ где } x_0 \text{ это константа, равная } x_0 = \frac{\hbar^2}{2m} * \frac{1}{\Delta x^2}, U_i - \text{ матрица}$$

увеличивающая высоту, в нашей задаче = 0, по этому при вычислении учитываются не будет

Аналитическое решение $\psi = \sin\left(\pi \frac{\text{condition}}{L} x\right)$, следует из $k = \frac{\text{condition} * \pi}{L}$ и $\psi(x) = A \sin(kx)$, в нашем

$$\text{случае } A = \sqrt{\frac{2}{L}}.$$

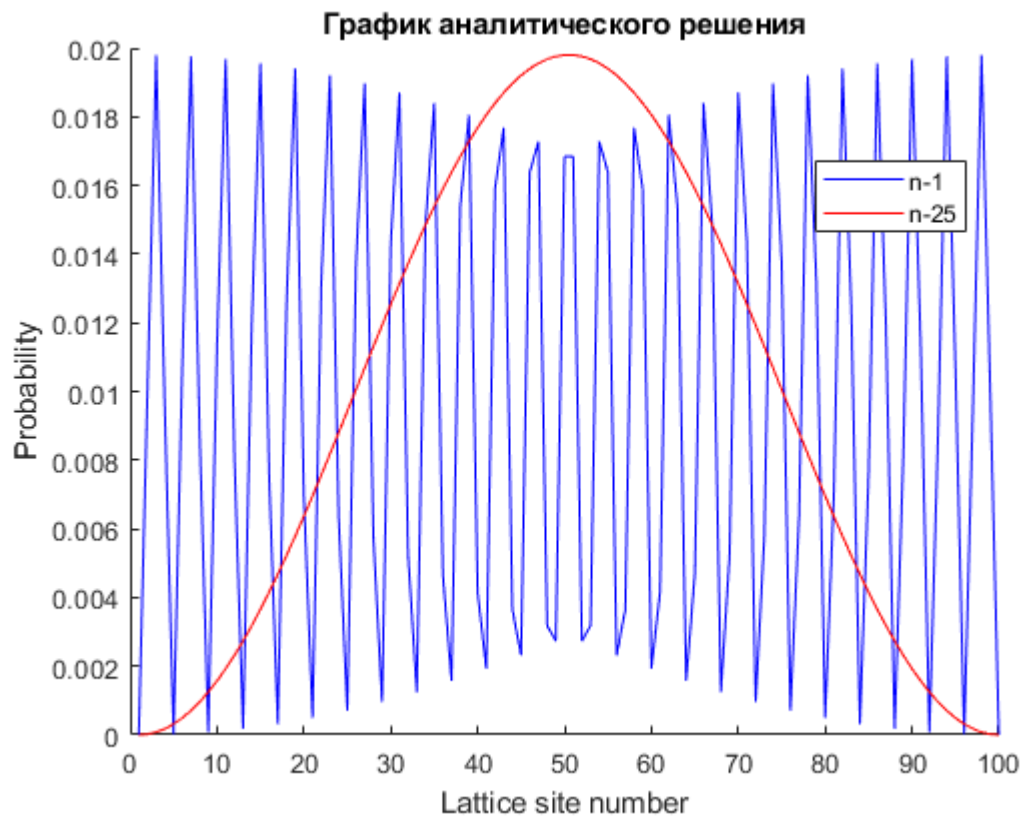
Энергию состояния, описываемого волновой функцией $\psi_n = C_n \sin\left(n \frac{\pi x}{L}\right)$, получим подставив $k_n = n \frac{\pi}{L}$ в

$$E = \frac{\hbar^2}{2m} k^2;$$

$$E_n = \frac{n^2 \hbar^2 \pi^2}{2mL^2}$$

,где n - номер орбитали, \hbar - постоянная Планка-Дирка, m - масса частицы (по условию $m = m_{eff} * m_0$, L - ширина потенциальной ямы(нм).

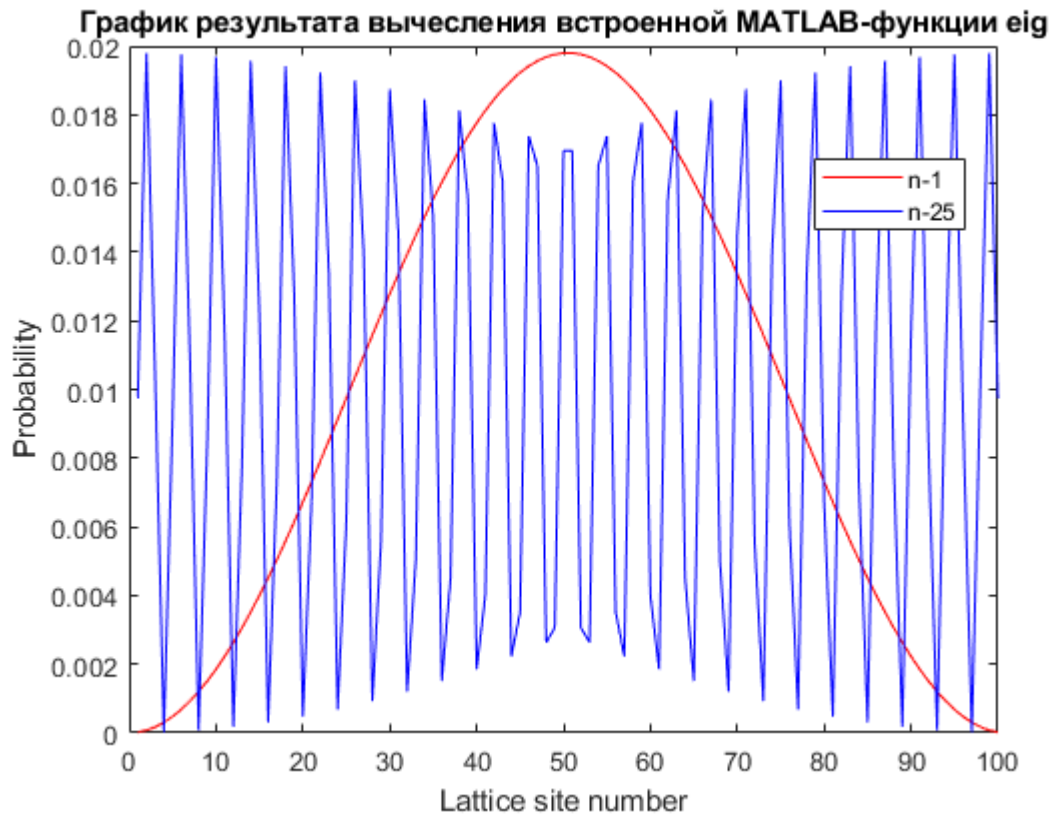
$$\Delta E = E_{n+1} - E_n.$$



```

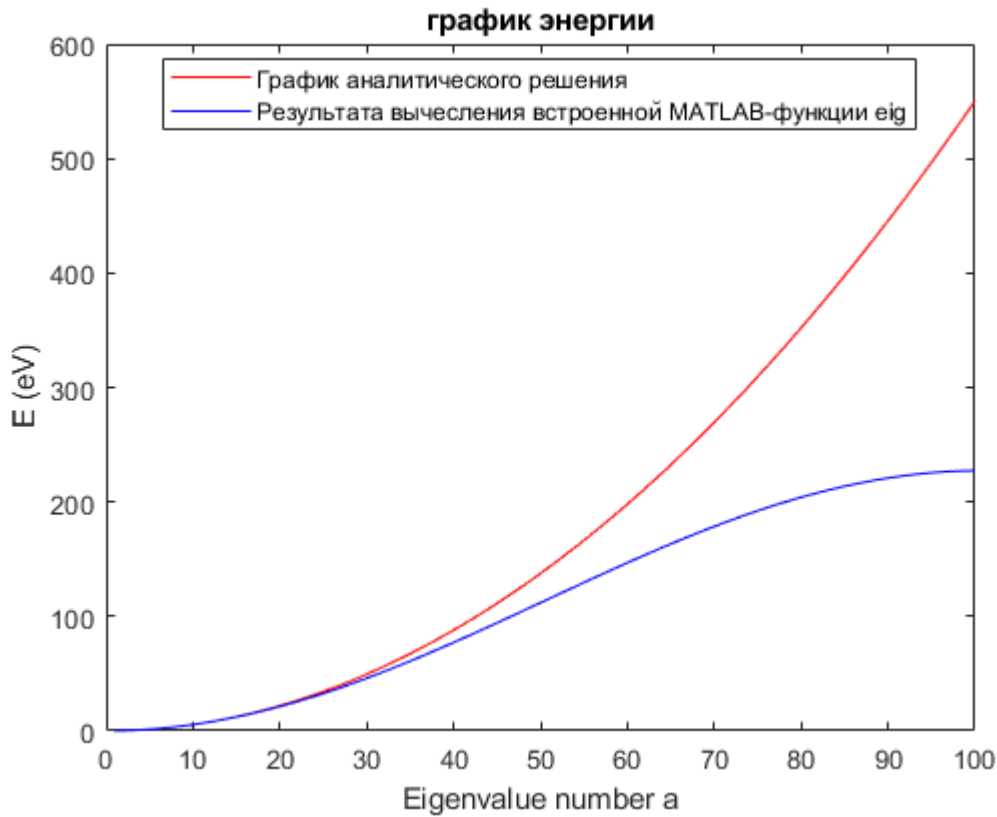
plot(Xn, abs(Phk(1:end, 1)).^2,"Color",'red');
hold on;
plot(Xn, abs(Phk(1:end, 25)).^2,"Color",'blue');
title('График результата вычисления встроенной MATLAB-функции eig');
legend('n-1','n-25','Location','best');
xlabel('Lattice site number');
ylabel('Probability');
hold off;

```



- **Задание 3:** построение энергитических графиков аналитического решения и результата вычисления встроенной MATLAB-функции eig

```
Et = Etheoretically(Xn, L1, m); %*(см. ниже)
plot(Xn, Etheoretically(Xn, L1, m),"Color",'red');
hold on;
plot(Xn, En,"Color",'blue');
title('график энергии')
legend('График аналитического решения','Результата вычисления встроенной MATLAB-функции eig','l
xlabel('Eigenvalue number a');
ylabel('E (eV)')
hold off;
```



• **Задание 4:** таблица

```
Tem = [Et(1) Et(2) Et(3) Et(25)]
```

```
Tem = 1x4
    0.0550    0.2201    0.4952   34.3863
```

```
Chsem = [En(1) En(2) En(3) En(25)]
```

```
Chsem = 1x4
    0.0550    0.2200    0.4948   32.6881
```

```
Et = Et.*1e3;
dE=[ceil(Et(2)-Et(1)) ceil(Et(3)-Et(2)) ceil(Et(4)-Et(3)) ceil(kT*1e3)]
```

```
dE = 1x4
    166    276    386     26
```

```
x0 = x0 * J2eV
```

```
x0 = 56.8654
```

• **Задание 5:**

```
[Phk, En2, x0] = matrixSchrodinger(L2, Np2, m);
Xn = 1:Np2;
Et = Etheoretically(Xn, L2, m);
Tem2 = [Et(1) Et(2) Et(3) Et(25)]
```

```
Tem2 = 1×4
    0.0139    0.0556    0.1250    8.6823
```

```
Chsem2 = [En2(1) En2(2) En2(3) En2(25)]
```

```
Chsem2 = 1×4
    0.0139    0.0556    0.1250    8.5724
```

```
Et = Et.*1e3;
dE=[ceil(Et(2)-Et(1)) ceil(Et(3)-Et(2)) ceil(Et(4)-Et(3)) ceil(kT*1e3)]
```

```
dE = 1×4
    42    70    98    26
```

```
x0 = x0 * J2eV
```

```
x0 = 56.8654
```

• Вывод:

1. От ширины ямы зависит насколько большая разница будет между энергетическими уровнями, чем шире яма тем ниже первый и последующие уровни
2. Яму шириной 1 ангстрема - нельзя контролировать с помощью теплового излучения так как ее энергия гораздо больше kT
3. Но яму шириной 2 ангстрема уже может регулироваться частично излучением kT на 1 возбужденном состоянии

• Время:

```
datetime('now')
```

```
ans = datetime
    08-Dec-2021 10:19:33
```

*Функция создания графика:

```
function yt = Ytheoretically(n, L, Np)
    dx = L / (Np + 1);
    r = 2 / L;
    X = linspace(0, L, 100);
    yt = r * dx * abs(sin((pi * n / L) * X)).^2;
end

function et = Etheoretically(n, L, m)
    load("constans.mat", "hbar", "J2eV");
    et = (pi * hbar * n / L).^2 / (2 * m) * J2eV;
end

function [Y, En, t0] = matrixSchrodinger(L, Np, m)
    load("constans.mat", "hbar", "J2eV");
    dx = L / (Np + 1);
    t0 = (hbar ^ 2) / (2 * m * dx ^ 2);
```



```

H = zeros(Np);
H(1, 1) = 2 * t0;
H(1, 2) = -t0;
for r = 2:Np
    for c = 1:Np
        if and(and(r ~= 1, r ~= Np), r == c)
            H(r, c) = 2 * t0;
            H(r, c - 1) = -t0;
            H(r, c + 1) = -t0;
        end
    end
end
H(Np, Np) = 2 * t0;
H(Np, Np - 1) = -t0;
[Y, En] = eig(H); % вернем диагональную матрицу
En = diag(En) * J2eV;
end

function ne = norma_energy_get(Phk)
    ne = 0;
    for c = 1:100
        ne = ne + abs(Phk(1:end, c)).^2;
    end
end

```